

九州大学工学部 正員 上田年比古

全 〇崎山 正常

1. まえがき 海水飽和地盤における淡水注入溝からの浸透については既に N.L.Ackermann 氏らによつて理論解析が行なわれ電気モデルによる実験によつて検討された報告<sup>1)</sup>があるが、これは海水飽和地盤上に直列に矢板を打込み、この矢板の内部を淡水注入溝(以下においては溝と云ふ)とし、かつ、溝の表面を外部の地盤と同じレベルにした場合についてである。本報では図-1に示してあるように溝に任意の深さ  $H_w$  を与えた場合を取り扱い、解析結果を実験によつて検討した。なお、前記 N.L.Ackermann 氏らの解析されたものは溝の深さ  $H_w = 0$  とすることによって本報の理論に含まれる。

## 2. 解析 図-1に示してあるように淡水の単位重量

を  $\gamma$ 、海水のそれを  $\gamma'$  として海水は流れていないと仮定する。溝の側壁(CD)は不透水性の矢板壁であり、その下に根入部(DE)があり、その厚さは無視できるものとする。流れの関数を  $\psi$ 、速度ポテンシャルを  $\Phi$  とすると、 $x$  および  $y$  方向の流速はそれそれ

$$U = \frac{\partial \Phi}{\partial x} \quad \omega = \frac{\partial \Phi}{\partial y} \quad ; \quad V = \frac{\partial \psi}{\partial y} \quad - \frac{\partial \psi}{\partial x} \quad \dots (1)$$

複素ポテンシャル  $W$  は  $W = \Phi + i\psi$   $\dots (2)$

次に流れの場の任意点における圧力水頭を  $x$  軸を基準として  $\gamma$  とすればその点の圧力  $P$  は

$$P = \gamma(h - y) \quad \therefore \quad h = \frac{P}{\gamma} + y \quad \dots (3)$$

一方、透水係数を  $k$  とすると Darcy の法則は

$$U = k \frac{\partial \psi}{\partial x} \quad ; \quad V = k \frac{\partial \psi}{\partial y} \quad \dots (4)$$

(1)式と(4)式から  $\Phi = kh = k(\frac{P}{\gamma} + y)$   $\dots (5)$

浸透境界の外側では海水は流れていはないから、この境界における任意点の圧力を  $P_0$  とすると

$$P_0 = \gamma'(H_w - y) \quad \dots (6)$$

これを(5)式の  $P$  に適用すると浸透境界における速度

ポテンシャル  $\psi$  が求められる。すなわち

$$\frac{y'}{H_w} = H_w' \quad , \quad \frac{\partial \psi}{\partial y} = h'_w \quad , \quad \Delta \psi = \gamma' - \gamma \quad \dots (7)$$

とおいて  $\Phi_s = kh'_w - \gamma'y$   $\dots (8)$

次に Zhukovsky 関数<sup>2)</sup>

$$\Omega_1 = \Phi + \gamma'y \quad , \quad \Omega_2 = \Phi_s - \gamma'x \quad \left. \right\} \quad \dots (9)$$

$$\Omega = \Omega_1 + i\Omega_2 = W - ik'y \quad , \quad Z = x + iy$$

を導入して  $W$  および  $\Omega$  平面を画くと、図-2 がえられ、流れの場の境界は  $\Omega$  平面の矩形の周囲に対応している。

図-1. 流れの場

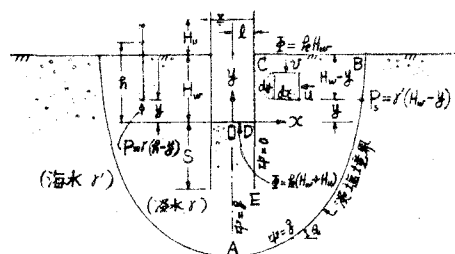
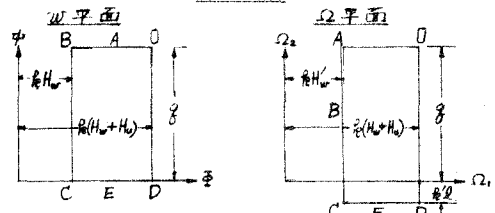
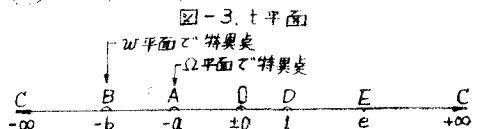


図-2.



これらに対する  $z$  平面を図-3 のようにえらぶ。



そゝすると Schwarz-Christoffel の定理によつて写像関数は

$$dw/dt = N / \sqrt{(-(b-t)) \cdot (t-a) \cdot (1-t)} \quad \dots (10)$$

$$dz/dt = M / \sqrt{(-a-t) \cdot (t-b) \cdot (1-t)} \quad \dots (11)$$

で与えられる。ここで  $a, b, e, N$  および  $M$  の値は

境界条件によつて定まる定数である。(10) および (11)

式を各境界にそつて積分すると未知定数決定の条件

$$式として K(m)/K(m') = \sqrt{(-a/b)} \cdot \sqrt{(-b/e)} \cdot \sqrt{(-e/b)} \quad \dots (12)$$

$$\epsilon = \frac{b[(a+1)/(b+1)][(K(m)/K(m'))(1 - \alpha \gamma H_w/k)]^2 - a}{1 - [(a+1)/(b+1)][(K(m)/K(m'))(1 - \alpha \gamma H_w/k)]^2} \quad \dots (13)$$

$$\frac{\partial F}{\partial} \frac{S}{H_0} = \left\{ (F(\theta_e, m)/K(m)) \left( 1 - \frac{\partial F}{\partial} \frac{H_w}{H_0} \right) - \frac{F(\theta_e, K')}{K(K')} \right\} \quad \dots (14)$$

$$\text{ただし } K^2 = 1/(b+1), \quad K' = 1-K^2, \quad m^2 = 1/(a+1), \quad m'^2 = 1-m^2 \quad \dots (15)$$

$$a = m^2/m^2, \quad \sin \theta_e = \sqrt{(e-1)/e}$$

がえられる。ここで  $F(\theta, n)$  および  $K(n)$  の標示は  $n$  を母数とする第一種椭円積分およびその完全椭円積分を意味する。すなわち任意の  $\frac{\partial F}{\partial} \frac{H_w}{H_0} < 1$ ,  $\frac{\partial F}{\partial} \frac{L}{H_0}$  および  $\frac{\partial F}{\partial} \frac{S}{H_0}$  を与えて (12), (13) および (14) 式を連立にとけば、

$a, b, e$  の値が求まる。しかし実際の計算においては先ず  $\frac{\partial F}{\partial} \frac{H_w}{H_0}$  および  $\frac{\partial F}{\partial} \frac{L}{H_0}$  の値のみを与えて  $b$  を適当に仮定して (15) 式で  $K^2 (= 1 - K'^2)$  を求め (12) 式で  $m^2 (= 1 - m'^2)$  を求め、次に (15) 式で  $a (= m^2/m^2)$  を求め (13) 式で  $e$  を求め、(15) 式で  $\theta_e$  を求めた後、この仮定の  $b$  に対する  $\frac{\partial F}{\partial} \frac{S}{H_0}$  の値を (14) 式で求める手順で、はじめの  $b$  の仮定値を、三かえて与えられた  $\frac{\partial F}{\partial} \frac{S}{H_0}$  に対する  $a, b, e$  の値を決定する方が計算は簡単なようである。次に溝の片側への単位奥行き当たりの流量  $\gamma$ 、および浸漬境界の曲線は次式で求められる。すなわち

$$\begin{aligned} \frac{\gamma}{\rho H_0} &= K(K)/K(K') \\ \frac{\partial F}{\partial} \frac{Z}{H_0} &= \left[ \left( 1 - \frac{\partial F}{\partial} \frac{H_w}{H_0} \right) \cdot F(\theta_e, m)/K(m) \right] \\ \frac{\partial F}{\partial} \frac{Y}{H_0} &= \left[ - \left( 1 - \frac{\partial F}{\partial} \frac{H_w}{H_0} \right) + F(\theta_e, K')/K(K') \right] \quad \dots (16) \\ \therefore \quad \gamma &= \sin \theta_e = \sqrt{(-a-t)/t}, \quad \sin \theta_g = \sqrt{b(1-t)} \\ -b &\leq t \leq -a \end{aligned}$$

本解析の結果に対して数値計算を行ったものを図-4, 5, 6 に示し、これらについて行った実験の一端を図-7 に示している。

3. むすび 敷値計算および実験から次の事が云ふ。

(1)  $\frac{\partial F}{\partial} \frac{L}{H_0}$  について；  $\frac{\partial F}{\partial} \frac{S}{H_0}$  加大すると小さくなる。 $\frac{\partial F}{\partial} \frac{L}{H_0}$  を一定にすると  $\frac{\partial F}{\partial} \frac{S}{H_0}$  が大きくなると  $\frac{\partial F}{\partial} \frac{H_w}{H_0}$  が大きくなる程小さくなる。

かくして  $\frac{\partial F}{\partial} \frac{S}{H_0}$  が小さくなると  $\frac{\partial F}{\partial} \frac{H_w}{H_0}$  が大きくなる程大きい。

(2)  $\frac{\partial F}{\partial} \frac{H_w}{H_0}$  について；  $\frac{\partial F}{\partial} \frac{S}{H_0}$  のある値で一般に最小値をもつ。しかし  $\frac{\partial F}{\partial} \frac{H_w}{H_0} = 0$  の場合には  $\frac{\partial F}{\partial} \frac{S}{H_0}$  が大きくなる程大きい。

かくして  $\frac{\partial F}{\partial} \frac{H_w}{H_0}$  を一定にすると  $\frac{\partial F}{\partial} \frac{S}{H_0}$  が大きくなると  $\frac{\partial F}{\partial} \frac{H_w}{H_0}$  が大きくなる程小さい。

(3)  $\frac{\gamma}{\rho H_0}$  について；  $\frac{\partial F}{\partial} \frac{S}{H_0}$  の大きさと  $\frac{\partial F}{\partial} \frac{H_w}{H_0}$  が大きくなると急激に小さくなる。 $\frac{\partial F}{\partial} \frac{L}{H_0}$  を一定にすると  $\frac{\partial F}{\partial} \frac{H_w}{H_0}$  が大きくなる程大きい。

かくして  $\frac{\partial F}{\partial} \frac{L}{H_0}$  を一定にすると  $\frac{\partial F}{\partial} \frac{H_w}{H_0}$  が大きくなる程大きい。

参考文献 1) Norbert L. Ackermann and Pachern Sridurongkatum : SALT-WATER INTERFACE NEAR A FRESH-WATER CANAL ; HY6, ASCE, 1964

2) 島山正常：海水と食塩水について一様な透水性地盤に設けられた淡水注入溝からの漏泄について；昭和40年度 土木学会

西日本支部研究発表会 論文集 (II-4)

